放射光 X 線を用いた太陽電池用 III-V 族化合物半導体のリアルタイム構造解析

Real-time Structural Analysis of III-V compound semiconductors by synchrotron radiation X-ray

池田 和磨¹⁾ 鈴木 秀俊²⁾ 西 俊明¹⁾ 小寺 大介¹⁾ 中村 紘也¹⁾ 佐々木 拓生³⁾ 高橋 正光³⁾ 大下 祥雄¹⁾

Kazuma IKEDA Hidetoshi SUZUKI Toshiaki NISHI Daisuke KODERA Hiroya NAKAMURA Takuo SASAKI Masamitsu TAKAHASHI Yoshio OHSHITA

1) 豊田工業大学 2) 宮崎大学 3) 日本原子力開発機構

(概要)

その場 3 次元逆格子マッピング測定により、InGaAs/GaAs (001) 結晶成長中におけるミスフィット転位密度と基板傾斜方向の関係を明らかにした。基板面傾斜が [110] 方向である場合、GaAs (001) 面に対する InGaAs (001) 面の傾斜方向は成長と共に $\langle 110 \rangle$ から $\langle -1-10 \rangle$ 方向へ変化し、その傾斜角は成長と共に増大した。これは、逆向きのバーガースベクトルを持つ 2 種類の α ミスフィット転位の密度比が成長と共に増加したことを示唆する。また InGaAs (001) 回折点の [110] 方向の半値全幅が急減期緩和後に減少したことから、 α ミスフィット転位の対消滅が多く生じたと考えられる。一方、基板面傾斜が [1-10] 方向である場合、InGaAs (001) 面の GaAs (001) 面に対する傾斜方向と角度に明確な傾向は認められなかった。このとき、 α 、 β ミスフィット転位密度は共に全過程において増加傾向であり、転位の対消滅は少なかったことが示唆される。

キーワード: X線回折, 逆格子マッピング, 成長面傾斜, ミスフィット転位, 異方性

1. 目的

III-V 族化合物半導体のヘテロエピタキシャル成長界面には,互いに直交する方向([110]と [1-10])に転位線を持つミスフィット転位が生じる.これらの転位密度には異方性があることが報告されている[1].この異方性は基板面の傾斜方向や角度に起因すると考えられている[2].基板面傾斜は成長面傾斜に影響を与えることが報告されているが[3],結晶成長中における成長面傾斜の変化の仕方は明らかとなっていなかった.本研究では,これまで,SPring-8 の BL11XU において, 2° の傾斜角をもつ基板に対して結晶成長中における成長面傾斜の変化を調べた.その結果,基板傾斜角が 2° の場合,基板面傾斜が[110]方向のときに,成長面傾斜が常に[-1-10]方向に生じることを明らかにした.今回は,基板傾斜角の大きさに対する成長面傾斜の依存性を調べることを目的とし,それぞれ[110],[1-10]方向で,かつ 6° の傾斜角を持つ基板に対して,基板傾斜方向と成長面傾斜の関係を調べた.

2. 方法

実験は SPring-8, BL11XU における MBE-XRD 装置を用いて実施した. 面傾斜角 2° , 6° , 傾斜方向がそれぞれ[110]と[1-10]の GaAs (001), 面傾斜無し GaAs (001)基板を用い, InGaAs 層を 400nm 成長した. 成長温度を 470° C, 成長速度を 0.2ML/sec, In 組成を約 8%とした. InGaAs 層の成長中における結晶軸の時間変化を測定するため, X 線回折測定において (224)および (004)面の回折を測定した. InGaAs 層の成長中において、3 次元逆格子マップを約 60 秒ごとに作成した.

3. 結果及び考察

微傾斜 GaAs (001) 基板への InGaAs 成長中における InGaAs (001) 面の GaAs (001) 面に対する傾きの変化を図 1 に示す。 [110] 微傾斜 GaAs 基板を用いた場合(図 GaAs 基板の) GaAs (001) 面の傾斜方向は,成長と共に GaAs 基板の) GaAs を開いた場合(図 GaAs を共に GaAs を共に GaAs を共に GaAs を共に増大した。一方,

[-110]微傾斜 GaAs(001) 基板を用いた場合(図 1b),傾斜なし GaAs(001) 基板を用いた場合と比較して,InGaAs(001) 面の傾斜方向と角度に明確な傾向は認められなかった。<110>方向への InGaAs(001) 面の傾斜は,<1-10>と<-110>方向に転位線を持つ α_1 および α_2 ミスフィット転位の密度が異なるときに生じる.図 1a において,成長開始から終了まで InGaAs(001) 面の傾斜変化が常に<-1-10>への一方向であることは, α_1 と α_2 ミスフィット転位の密度比(α_2/α_1)が常に増加し, β_1 と β_2 ミスフィット転位の密度比が常にほぼ 1 であったことを示唆する.

(001)面内逆格子マッピングにおける InGaAs 回折点の[110]と[-110]方向の半値全幅の膜厚依存性を図 2 に示す. [110]と[-110]方向の半値全幅はそれぞれ α および β ミスフィット転位の密度と正の相関を持つと考えられる. そのため,[110]微傾斜基板を用いた場合(図 2a), α ミスフィット転位密度は急激緩和の後に緩やかに減少したことが示唆される. 一方,このときの β ミスフィット転位密度や,[-110]微傾斜基板を用いた場合(図 2b)における α , β ミスフィット転位密度は,全成長過程において常に増加したことが示唆される. 転位密度の減少は,すべり運動による転位の対消滅によるものであり,転位密度の増加は,その対消滅が十分に生じなかったと考えられる.

[110]微傾斜基板を用いた場合に α_1 と α_2 ミスフィット転位の密度比が常に増加した理由として、転位生成速度の違いと対消滅が関係すると考えられる. α_1 , α_2 ミスフィット転位のバーガースベクトルと基板面ステップの向きの関係は等価でないため、これらの生成速度は異なる. また一般に III-V 化合物では、 α ミスフィット転位が β ミスフィット転位に比べ高い生成速度を持つ. [110] 微傾斜基板における α ミスフィット転位は、ステップ境界線や β ミスフィット転位と干渉することなく先に生成され(図 3), すべり運動により対消滅を生じる. 対消滅の数が増えるほど、 α ミスフィット転位の密度比は大きくなる. 一方、[-110]微傾斜基板を用いた場合、 β_1 と β_2 ミスフィット転位の生成速度は異なるが、先に生成された α ミスフィット転位により、その生成とすべり運動はブロックされやすい. α ミスフィット転位の生成もまたステップによりブロックされやすく、密度は増加しにくいと考えられる.

以上より、基板面傾斜方向が[110]の場合、2種類の α ミスフィット転位の対消滅によりその密度の和は減少するが、密度比は増大すると考えられる。また、基板面傾斜方向が[-110]の場合、ブロッキングによりミスフィット転位の対消滅が生じにくく、転位密度は成長と共に増大すると考えられる。

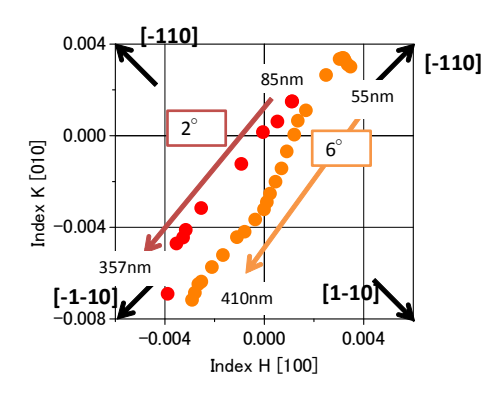


図 1 a. [110]微傾斜 GaAs (001) 基板上への成長中における InGaAs (001) の変化. GaAs (001) を原点とした.

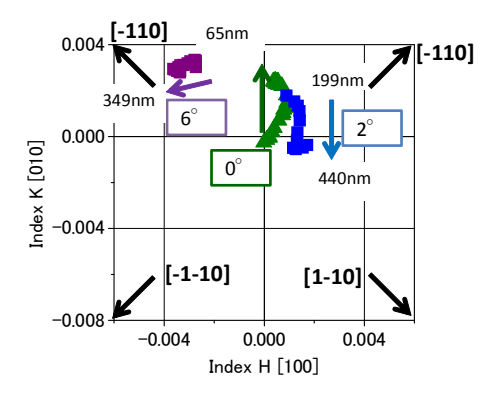


図 1 b. [1-10]微傾斜 GaAs (001) 基板上への成長中における InGaAs (001) の変化.

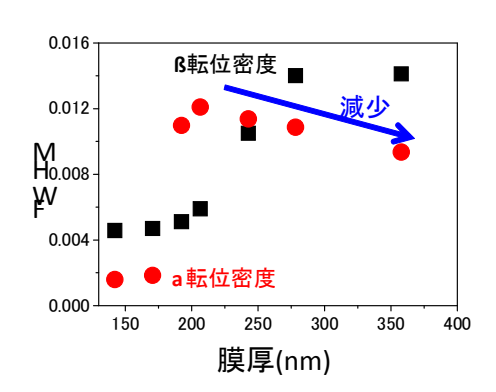


図 2a. [110]微傾斜 GaAs (001) 基板上に成長した InGaAs の (001) 面傾斜方向. GaAs (001) を原点と

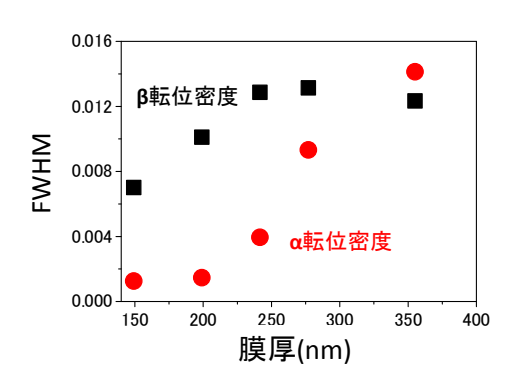


図 2b. [110]微傾斜 GaAs (001) 基板上に成長した InGaAs の (001) 面傾斜方向. GaAs (001) を原点とした.

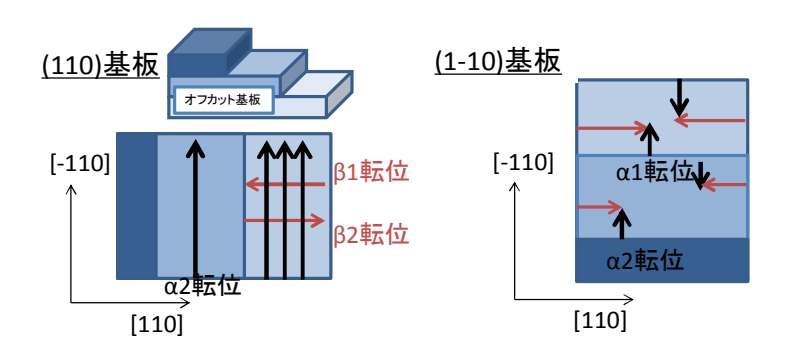


図 3. [110]および[1-10]微傾斜 GaAs (001) 基板上のステップとミスフィット転位線の関係.

4. 引用(参照)文献等

- [1] M. S. Abrahams et al., Appl. Phys. Lett. 21, 185 (1972).
- [2] P. Werner et al., Appl. Phys. Lett. 62, 2798 (1993).
- [3] J. W. Eldredge et al., J. Vac. Sci. Technol. B 13, 689 (1995).